

УДК 519.642

## Моделирование течения Тейлора – Куэтта методом вихревых элементов

*Макарова М. Е., студентка*

*Россия, 105005, г. Москва, МГТУ им. Н.Э. Баумана,  
кафедра «Прикладная математика»*

*Научный руководитель: Марчевский И.К., к.ф.-м.н., доцент  
Россия, 105005, г. Москва, МГТУ им. Н.Э. Баумана*

[bauman@bmstu.ru](mailto:bauman@bmstu.ru)

**1. Постановка задачи.** Рассмотрим движение вязкой несжимаемой среды в области  $G$  (рис. 1), ограниченной двумя бесконечными цилиндрами ( $S$  – сечение области  $G$ , проведенное перпендикулярно оси цилиндров и заполненное средой). Цилиндры вращаются вокруг своей оси с угловыми скоростями  $\omega_1$  и  $\omega_2$ ; их радиусы  $r_1$  и  $r_2$ , причем  $r_2 > r_1$ .

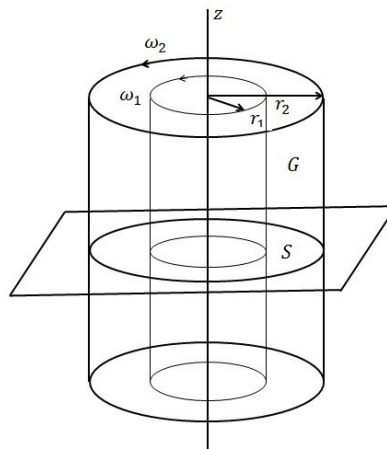


Рис. 1. Вращающиеся цилиндры

Уравнения, описывающие движение среды в области  $G$ , – уравнения Навье – Стокса:

$$\begin{cases} \nabla^* \cdot \vec{V}^* = 0, \\ \frac{\partial \vec{V}^*}{\partial t^*} + (\vec{V}^* \cdot \nabla^*) \vec{V}^* + \frac{1}{\rho} \nabla^* \vec{p}^* = \nu \Delta^* \vec{V}^* + f. \end{cases} \quad (1.1)$$

Здесь  $\rho$  – постоянная плотность,  $\nu$  – кинематическая вязкость,  $\bar{p}^*$  – давление,  $\vec{V}^*$  – скорость среды,  $f$  – плотность внешних сил на элемент массы (рассматривается случай  $f = 0$ ),  $\nabla^*$  и  $\Delta^*$  – операторы дифференцирования в двумерной области в размерных координатах.

Для удобства проведения дальнейших выкладок введем цилиндрические координаты  $r^*$ ,  $\theta$  с осью  $Oz$  по оси цилиндров, тогда граничные условия прилипания примут вид [1]:

$$v_z^* = v_{r^*}^* = 0, \quad v_\theta^* = \omega_1 r_1, \quad \text{при } r^* = r_1,$$

$$v_z^* = v_{r^*}^* = 0, \quad v_\theta^* = \omega_2 r_2, \quad \text{при } r^* = r_2,$$

где  $\omega_1$ ,  $\omega_2$  – угловые скорости внутреннего и внешнего цилиндров соответственно,  $\vec{V}^* = (v_{r^*}^*, v_\theta^*, v_z^*)$ .

**2. Приведение уравнений к безразмерному виду.** Будем считать, что  $\omega_1 > 0$ , а величина  $\omega_2$  – произвольная. Безразмерные переменные выберем следующим образом [2]:

$$\vec{r} = \frac{\vec{r}^*}{d}, \quad \vec{V} = \frac{\vec{V}^*}{\tilde{V}}, \quad t = \frac{t^*}{\tilde{t}}, \quad \bar{p} = \frac{\bar{p}^*}{\tilde{p}};$$

$$d = r_2 - r_1, \quad \tilde{V} = r_1 \omega_1, \quad \tilde{t} = \frac{d^2}{\nu}, \quad \tilde{p} = \frac{\rho \nu r_1 \omega_1}{d}.$$

Подставим эти переменные в уравнение (1.1), тогда

$$\begin{cases} (\nabla \cdot \vec{V}) \cdot r_1 \omega_1 = 0, \\ \frac{\partial \vec{V}}{\partial t} \cdot \frac{r_1 \omega_1 \nu}{d^2} + (\vec{V} \cdot \nabla) \vec{V} \cdot \frac{(r_1 \omega_1)^2}{d} + \frac{1}{\rho} \nabla \bar{p} \cdot \frac{\rho r_1 \omega_1 \nu}{d^2} = \nu \Delta \vec{V} \cdot \frac{r_1 \omega_1 \nu}{d^2}. \end{cases}$$

Здесь  $\nabla$  и  $\Delta$  – операторы дифференцирования в безразмерных координатах.

Умножив первое уравнение на  $\frac{d^2}{r_1 \omega_1 \nu}$ , получим систему, описывающую движение среды в безразмерных переменных, следующего вида:

$$\begin{cases} \nabla \cdot \vec{V} = 0, \\ \frac{\partial \vec{V}}{\partial t} + \text{Re}(\vec{V} \cdot \nabla) \vec{V} + \nabla \bar{p} = \Delta \vec{V}. \end{cases} \quad (2.1)$$

где  $\text{Re} = \frac{r_1 \omega_1 d}{\nu}$  – число Рейнольдса (рассчитанное по скорости вращения внутреннего цилиндра).

Граничные условия примут вид:

$$\begin{aligned} v_z = v_r = 0, \quad v_\theta = 1, \quad \text{при } r = \frac{r_1}{d}, \\ v_z = v_r = 0, \quad v_\theta = \frac{\omega_2 r_2}{\omega_1 r_1}, \quad \text{при } r = \frac{r_2}{d}, \end{aligned}$$

где  $\vec{V} = (v_r, v_\theta, v_z)$ .

Уравнения (2.1) в цилиндрической системе координат  $(r, \theta, z)$ :

$$\begin{cases} \frac{1}{r} \frac{\partial(rv_r)}{\partial r} + \frac{1}{r} \frac{\partial v_\theta}{\partial \theta} + \frac{\partial v_z}{\partial z} = 0, \\ \frac{\partial v_r}{\partial t} = \Delta v_r - \frac{2}{r^2} \frac{\partial v_\theta}{\partial \theta} - \frac{v_r}{r^2} - \frac{\partial p}{\partial r} - \text{Re} \left[ v_r \frac{\partial v_r}{\partial r} + \frac{v_\theta}{r} \frac{\partial v_r}{\partial \theta} + v_z \frac{\partial v_r}{\partial z} - \frac{v_\theta^2}{r} \right], \\ \frac{\partial v_\theta}{\partial t} = \Delta v_\theta + \frac{2}{r^2} \frac{\partial v_r}{\partial \theta} - \frac{v_\theta}{r^2} - \frac{1}{r} \frac{\partial p}{\partial \theta} - \text{Re} \left[ v_r \frac{\partial v_\theta}{\partial r} + \frac{v_\theta}{r} \frac{\partial v_\theta}{\partial \theta} + v_z \frac{\partial v_\theta}{\partial z} - \frac{v_r v_\theta}{r} \right], \\ \frac{\partial v_z}{\partial t} = \Delta v_z - \frac{\partial p}{\partial z} - \text{Re} \left[ v_r \frac{\partial v_z}{\partial r} + \frac{v_\theta}{r} \frac{\partial v_z}{\partial \theta} + v_z \frac{\partial v_z}{\partial z} \right]. \end{cases} \quad (2.2)$$

Будем рассматривать стационарную задачу ( $\partial V / \partial t = 0$ ) и такое движение среды, когда скорость вдоль оси цилиндра равна нулю. Поскольку область  $G$  обладает осевой симметрией, то  $\vec{V} = (0, v_\theta(\vec{r}), 0)$  и уравнение неразрывности будет выполняться тождественно, а система (2.2) для описания стационарного течения Тейлора – Куэтта примет вид:

$$\frac{dp}{dr} = \text{Re} \frac{v_\theta^2}{r}, \quad \frac{d^2 v_\theta}{dr^2} + \frac{1}{r} \frac{dv_\theta}{dr} - \frac{v_\theta}{r^2} = 0.$$

Последнее уравнение имеет решения вида  $v = C_n r^n$ , где  $C_n \in \mathbb{R}$ ,  $\forall n \in \mathbb{Z}$ .

Подстановка дает  $n = \pm 1$ , поэтому

$$v_\theta(r) = Ar + \frac{B}{r}, \quad \omega(r) = \frac{r_1}{d} \cdot \frac{v_\theta}{r} = \frac{r_1}{d} \cdot \left( Ar + \frac{B}{r} \right), \quad p = \text{Re} \int \frac{v_\theta^2}{r} dr. \quad (2.3)$$

Постоянные  $A$  и  $B$  находятся из условий прилипания жидкости к стенкам цилиндров, согласно которым скорость жидкости на внутренней и внешней цилиндрических поверхностях должна быть равна скорости соответствующего цилиндра.

В результате получаем:

$$A = \frac{r_1 - \frac{\omega_2 r_2}{\omega_1 r_1} r_2}{r_1^2 - r_2^2}, \quad B = \frac{\left( \frac{\omega_2 r_2}{\omega_1 r_1} r_1 - r_2 \right)}{r_1^2 - r_2^2}.$$

Искомое распределение скоростей находится после подстановки найденных  $A$  и  $B$  в формулы (2.3).

**3. Численное решение. Метод вихревых элементов.** Численное решение задачи осуществляется с помощью метода вихревых элементов (МВЭ). Поскольку рассматривается лишь ламинарное течение, то достаточно решить двумерную задачу моделирования течения среды между двумя окружностями в плоскости, содержащей область  $S$ . Найденное распределение скоростей будет одинаковым в любом сечении цилиндров плоскостью, перпендикулярной оси цилиндров.

Скорость среды в МВЭ находится как суперпозиция полей скоростей отдельных вихревых элементов (ВЭ), находящихся в области расчета в данный момент времени и ВЭ, моделирующего влияние вращающейся окружности. Интенсивности ВЭ таковы, что обеспечивается выполнение граничного условия на профиле [3, 4].

В работе моделирование течения среды осуществлялось с помощью программного комплекса POLARA [5]. Определение интенсивности вихревого слоя, моделирующего границу области, проводилось с помощью метода МВЭ с касательными компонентами скорости (далее он будет описан подробно). С описанием других этапов расчета эволюции и движения ВЭ можно ознакомиться в [3, 4, 7, 8].

Вращение внутренней окружности моделировалось с помощью помещения в центр окружностей (то есть на ось цилиндра) вихря с циркуляцией  $\vec{\Gamma}$ , порождающего такое поле

скоростей, что выполняется равенство 
$$\frac{\vec{\Gamma} \times \vec{r}_1}{2\pi|\vec{r}_1|^2} = \vec{\omega}_1 \times \vec{r}_1.$$

В методах вихревых элементов при решении двумерных задач для простоты выкладок удобно считать течение трехмерным с одинаковыми характеристиками во всех плоскостях  $z = const$  (что и наблюдается в рассматриваемой задаче). Тогда скорость в точке  $(x; y)$  можно определить по интенсивности вихревого слоя, моделирующего границу окружностей, –  $\gamma^\sigma(p_0) = \gamma^\sigma(x_0; y_0)$  (индекс  $\sigma$  означает, к какой окружности относится рассматриваемый вихревой слой;  $\sigma = 1$  – внутренняя окружность,  $\sigma = 2$  – внешняя), и интенсивностям ВЭ, сгенерированных на предыдущих шагах расчета и находящихся в области течения.

Обозначим скорость течения как  $\vec{V} = (v_x, v_y, 0)^T$ ; интенсивность вихревого слоя, моделирующего влияние точки границы области  $\partial S$  с радиус-вектором  $\vec{r}_0 = (x_0, y_0, 0)^T$

равна вектору  $\vec{\gamma}^\sigma(\vec{r}_0) = (0, 0, \gamma^\sigma(\vec{r}_0))^T$ . Тогда, используя закон Био – Савара, скорость среды в точке с радиус-вектором  $\vec{r} = (x, y, 0)^T$  можно вычислить по формуле [3, 4]

$$\vec{V}(\vec{r}) = \frac{\vec{\Gamma} \times \vec{r}_1}{2\pi|\vec{r}|^2} + \vec{V}_\Omega(\vec{r}) + \sum_{\sigma=1,2} \oint_{\partial S^\sigma} \frac{\vec{\gamma}^\sigma(\vec{r}_0) \times (\vec{r} - \vec{r}_0)}{2\pi|\vec{r} - \vec{r}_0|^2} dl_{r_0}, \quad \vec{r} \in \partial S$$

Здесь  $\vec{V}_\Omega(\vec{r})$  – скорость среды, индуцируемая ненулевой завихренностью  $\vec{\Omega} = \Omega \vec{k}$ , находящейся в течении в текущий момент времени [3, 4]:

$$\vec{V}_\Omega(\vec{r}) = \int_s \frac{\Omega(\vec{r}_0) \times (\vec{r} - \vec{r}_0)}{2\pi|\vec{r} - \vec{r}_0|^2} dS_{r_0}, \quad \vec{r} \in \partial S.$$

Предельное значение скорости среды  $\vec{V}_-(\vec{r})$  на границе  $\partial S$  со стороны области  $R^2 \setminus S$ , внешней по отношению к течению, равно [3]

$$\vec{V}_-(\vec{r}) = \vec{V}(\vec{r}) - \left( \frac{\vec{\gamma}^\sigma(\vec{r})}{2} \times \vec{n}(\vec{r}) \right) = \vec{V} - \left( \frac{\gamma^\sigma(\vec{r})}{2} \vec{\tau}(\vec{r}) \right), \quad \vec{r} \in \partial S, \quad (3.1)$$

где  $\vec{n}(\vec{r})$  – орт внешней нормали к профилю,  $\vec{\tau}(\vec{r})$  – орт касательной. При этом орт касательной  $\vec{\tau}(\vec{r})$  к профилю выбирают таким образом, что  $\vec{n}(\vec{r}) \times \vec{\tau}(\vec{r}) = \vec{k}$  и  $|\vec{\tau}(\vec{r})| = 1$ , где  $\vec{k}$  – орт оси  $Oz$ .

Для нахождения неизвестной интенсивности вихревого слоя  $\gamma^\sigma(\vec{r})$  в МВЭ используется условие равенства нулю вектора скорости  $\vec{V}_-(\vec{r})$  на границе области течения, которое обеспечивается равенством нулю либо нормальной («классический» метод) [3, 4], либо касательной компоненты вектора  $\vec{V}_-(\vec{r})$  («модифицированный» метод) [3, 6-9]; с математической точки зрения эти подходы эквивалентны.

Таким образом, в «модифицированном» МВЭ интегральное уравнение для  $\gamma(\vec{r}_0)$  получается из условия равенства нулю касательной компоненты предельного значения скорости (3.1) на границе области течения:

$$\sum_{\sigma=1,2} \oint_{\partial S^\sigma} \frac{[\vec{k} \times (\vec{r} - \vec{r}_0)] \cdot \vec{\tau}^\sigma(\vec{r})}{2\pi|\vec{r} - \vec{r}_0|^2} \cdot \gamma^\sigma(\vec{r}_0) dl_{r_0} - \frac{\gamma^\sigma(\vec{r})}{2} = -\vec{\tau}^\sigma(\vec{r}) \cdot \left( \frac{\vec{\Gamma} \times \vec{r}_1}{2\pi|\vec{r}|^2} + \vec{V}_\Omega(\vec{r}) \right), \quad \vec{r} \in \partial S \quad (3.2)$$

Поскольку решение интегрального уравнения (3.2) не является единственным, вводят дополнительные условия

$$\oint_{\partial S^\sigma} \gamma^\sigma(\vec{r}) dl_r = G^\sigma, \quad \sigma = 1, 2, \quad (3.3)$$

определяющие циркуляцию поля скоростей вдоль внешней и внутренней окружностей.

Уравнение (3.2) – интегральное уравнение Фредгольма 2-го рода [3, 6], его ядро ограничено при  $|\vec{r} - \vec{r}_0| \rightarrow 0$ . В ограниченности ядра интегрального уравнения (3.2) и состоит основное преимущество «модифицированного» подхода над «классическим». В связи с этим при численном решении уравнения (3.2) не накладывается жестких ограничений на вид расчетной схемы, она может быть достаточно произвольной [3, 6-9].

**4. Метод вихревых элементов с нулевыми касательными компонентами скорости (КМВЭ).** В расчете границу области  $S$  разбивают на панели  $K_i$ , где  $i = \overline{1, N}$ ,  $N$  – общее число панелей. Интенсивность вихревого слоя принимается постоянной на каждой панели и равной среднему значению  $\tilde{\gamma}_i$  плотности интенсивности вихревого слоя на участке границы, соответствующем этой панели. Тогда интегральное уравнение (3.2) может быть приближенно заменено системой из  $N$  линейных алгебраических уравнений, переход к которым подробно рассматривается в работах [7, 8]:

$$\sum_{\sigma=1,2} \sum_{j=1}^{N^\sigma} \frac{\tilde{\gamma}_j^\sigma \vec{r}_i^s}{L_i^s} \cdot \int_{K_j^\sigma} dl_{r_0}^{s,i} \int_{K_j^\sigma} \frac{\vec{k} \times (\vec{r} - \vec{r}_0)}{2\pi |\vec{r} - \vec{r}_0|^2} dl_r^{\sigma,j} - \frac{\tilde{\gamma}_i^s}{2} + R^s = -\frac{\vec{r}_i^s}{L_i^s} \cdot \int_{K_i^s} \left( \frac{\vec{\Gamma} \times \vec{r}_0}{2\pi |\vec{r}_0|^2} + \vec{V}_\Omega(\vec{r}_0) \right) dl_{r_0}^{s,i}, \quad (4.1)$$

$$\vec{r} \in \partial S, \quad i = \overline{1, N^s}, \quad s = \overline{1, 2},$$

где индекс  $s$  имеет такое же значение что и  $\sigma$ ;  $dl_{r_0}^{s,i}$ ,  $dl_r^{\sigma,j}$  – дифференциалы длин панелей с номерами  $i$  и  $j$  соответственно, по которым производится интегрирование;  $R^s$  – регуляризирующая переменная, соответствующая  $s$ -му профилю [3, 4];  $N^1$  и  $N^2$  – количество панелей на внутренней и внешней окружностях соответственно.

Система (3.3) заменяется дискретным аналогом:

$$\sum_{j=1}^{N_\sigma} \gamma_j^\sigma l_j^\sigma = G^\sigma, \quad \sigma = 1, 2. \quad (4.2)$$

При численном решении уравнений (4.1) и (4.2) наибольшую трудность представляет определить способ интегрирования следующей величины:

$$V_{i,j}^{\sigma,s} = \int_{K_j^\sigma} dl_{r_0}^{s,i} \int_{K_j^\sigma} \frac{\vec{k} \times (\vec{r} - \vec{r}_0)}{2\pi \cdot |\vec{r} - \vec{r}_0|^2} dl_r^{\sigma,j}, \quad \sigma = \overline{1, 2}, \quad s = \overline{1, 2}. \quad (4.3)$$

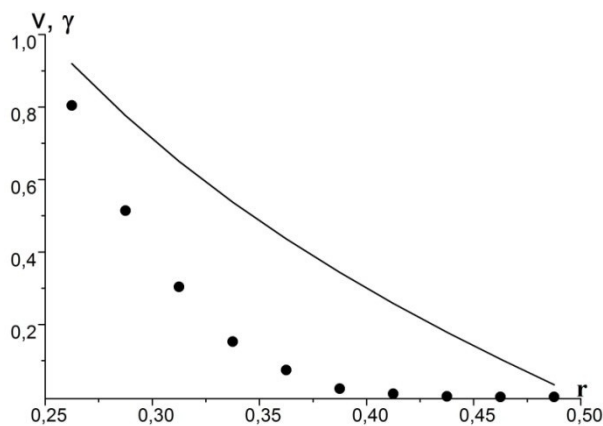
В уравнении (4.3) величина  $V_{i,j}^{\sigma,s}$  и все интегралы вычисляются по аналитическим формулам, описанным в работах [7, 8]. Выполнение граничного условия обеспечивается в среднем на каждой панели [6-9].

В связи с указанными особенностями расчетных схем использование «модифицированного» МВЭ представляется перспективным.

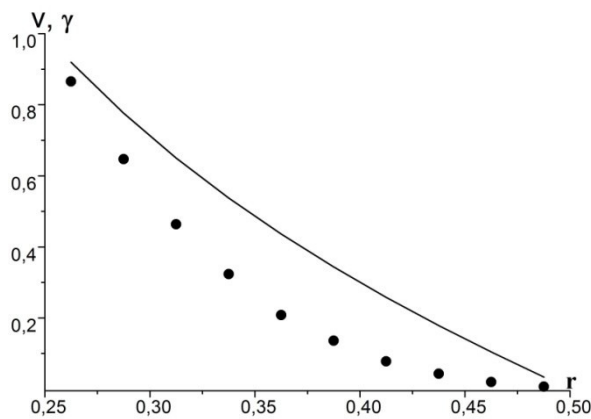
**5. Результаты расчета обтекания.** В расчетах увеличение циркуляции вихря в центре окружностей производилось постепенно с нулевого значения до величины  $\Gamma$  (то есть угловая скорость вращения внутреннего цилиндра нарастала постепенно). По истечении некоторого времени течение в области устанавливалось и тогда распределение скоростей по радиальной координате, полученное численно (точки, рис. 2 г.), практически совпадало с точным решением (сплошная линия, рис. 2 г.)). Это свидетельствует о способности схемы МВЭ с касательными компонентами скорости правильно моделировать течение среды в замкнутой области и достаточно точно определять интенсивности ВЭ.

При численном моделировании течения Тейлора – Куэтта для расчета использовались следующие параметры  $r_1 = 0,25$ ,  $r_2 = 0,50$ ,  $\omega_1 = 8/\pi$ ,  $\omega_2 = 0$ . Это соответствует значениям  $Re \approx 80$ .

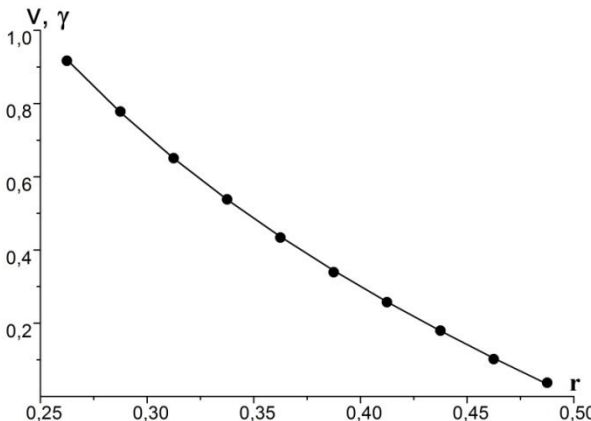
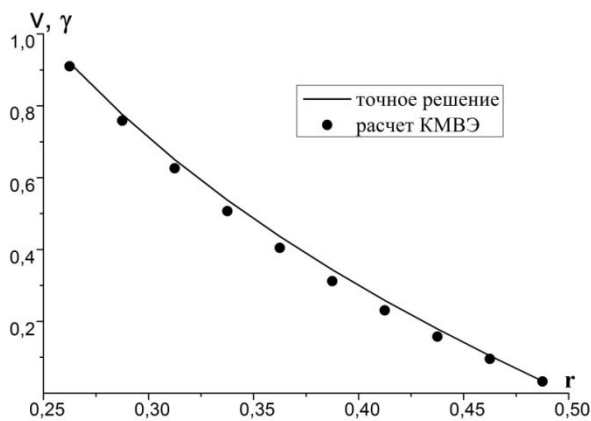
Точное решение было найдено и построено с помощью системы вычислений WolframMathematica.



а)



б)

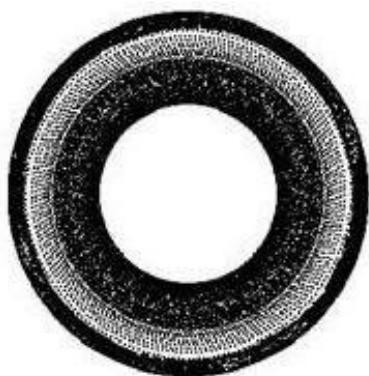


в)

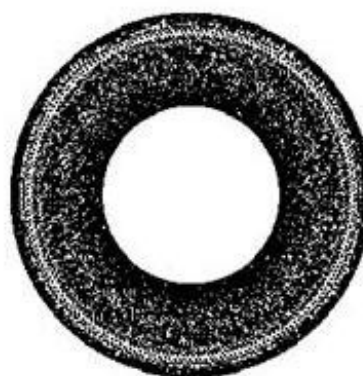
г)

Рис. 2. Сравнение точного решения с численным. Буквы а), б), в), г) соответствуют 500-му, 1000-му, 3000-му, 5000-му шагу моделирования по времени

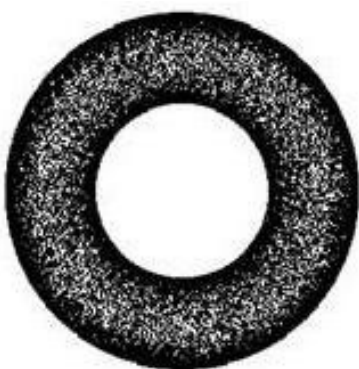
Из результатов моделирования видно, что к 5000-му шагу течение устанавливается и результаты численного и точного решения практически совпадают.



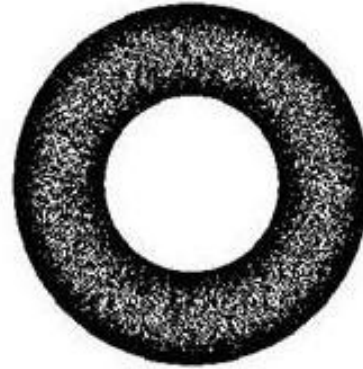
а)



б)



в)



г)

Рис. 3. Результат моделирования течения Тейлора – Куэтта программным комплексом POLARA

**6. Выводы.** Результаты численного моделирования течения Тейлора – Куэтта хорошо согласуются с точным решением. Это свидетельствует о перспективности использования метода вихревых элементов с нулевыми касательными компонентами скорости для моделирования течений вязкой несжимаемой среды.

#### Список литературы

---

1. Ландау Л.Д., Лифшиц Е.М. Теоретическая физика. Т. VI. Гидродинамика. М.: ФИЗМАТЛИТ, 2001. 736 с.
2. Chossat P., Iooss G. The Couette-Taylor Problem. Applied Mathematical Sciences, Springer-Verlag, New York, 1994, v.102, 233 p.
3. Лифанов И.К. Метод сингулярных интегральных уравнений и численный эксперимент. М.: Янус, 1995. 520 с.
4. Андронов П.Р., Гувернюк С.В., Дынникова Г.Я. Вихревые методы расчета нестационарных гидродинамических нагрузок. М.: Изд-во МГУ, 2006. 184 с.
5. Марчевский И.К., Морева В.С. Численное моделирование в задачах аэрогидродинамики с использованием метода вихревых элементов// CAD/CAM/CAE Observer, 2012. № 2. С. 84-91.
6. Kempka S.N., Glass M.W., Peery J.S., Strickland J.H. Accuracy Considerations for Implementing Velocity Boundary Conditions in Vorticity Formulations // SANDIAREPORTSAND96-0583 UC-700. March, 1996, 52 p.
7. Морева В.С. Вычисление вихревого влияния в модифицированной схеме метода вихревых элементов // Вестник МГТУ им. Н.Э. Баумана. Естественные науки. 2012. Спец. вып. № 2 «Математическое моделирование в технике». С. 137-144.
8. Морева В.С. Математическое моделирование обтекания профилей с использованием новых расчетных схем метода вихревых элементов: Дис. ... канд. физ.-мат. наук. М., 2013. 130 с.
9. Макарова М.Е. Расчет стационарного безотрывного обтекания профиля потоком идеальной несжимаемой среды // Вестник МГТУ им. Н.Э. Баумана. Естественные науки. 2011. Спец. выпуск «Прикладная математика». С. 124-133.